

УДК 537.226.4

© 1992

## ДОМЕННЫЙ МЕХАНИЗМ ВОЗНИКОВЕНИЯ ХАОСА В СЕГНЕТОЭЛЕКТРИЧЕСКИХ КРИСТАЛЛАХ ТГС

С. Н. Дрождин, Л. Н. Камышева

Исследованы хаотические колебания, возникающие в последовательном резонансном *RLC*-контуре при циклической переполяризации его сегнетоэлектрической емкости (образцы сегнетоэлектрических монокристаллов чистого и примесного триглицинсульфата). Предполагается, что хаотизация колебаний в контуре имеет доменное происхождение и обусловлена статистическими процессами зарождения и исчезновения антипараллельных доменов в исходных монодоменных областях кристалла под действием синусоидального электрического поля.

Исследования вынужденных хаотических колебаний в последовательном резонансном *RLC*-контуре [1–8], содержащем нелинейную сегнетоэлектрическую емкость (рис. 1), представляют значительный научный интерес, поскольку при этом появляется возможность связать механизм возникновения хаоса с физическими процессами, происходящими непосредственно в нелинейном элементе системы (в сегнетоэлектрическом кристалле) под действием вынуждающей силы (синусоидального электрического поля, переполяризующего кристалл), и одновременно более детально изучить сами эти процессы.

Поведение контура (рис. 1) описывается нелинейным дифференциальным уравнением Дуффинга в следующей форме [1, 2]:

$$\ddot{P} + \frac{\omega_r}{Q} \dot{P} + \frac{d\alpha}{SL} P + \frac{d\beta}{SL} P^3 = \frac{U_0}{LS} \sin 2\pi\nu t, \quad (1)$$

где  $P$  — поляризация сегнетоэлектрического образца;  $\omega_r$  — резонансная частота контура;  $Q$  — добродиность контура;  $d$  и  $S$  — соответственно толщина и площадь образца;  $L$  — линейная индуктивность;  $\nu$  и  $U_0$  — частота и амплитуда электрического напряжения, приложенного к контуру;  $\alpha$  и  $\beta$  — коэффициенты разложения термодинамического потенциала в ряд по четным степеням поляризации.

Уравнение (1) получается из уравнения движения для контура с использованием электрического уравнения состояния сегнетоэлектрика с фазовым переходом второго рода

$$E_{cs} = \frac{\partial \Phi}{\partial P} = \alpha P + \beta P^3 + \dots, \quad (2)$$

где  $\Phi(P, \Theta)$  — термодинамический потенциал, зависящий от поляризации и температуры  $\Theta$ ;  $E_{cs}$  — напряженность электрического поля в кристалле;  $\alpha(\Theta)$  и  $\beta = \text{const} > 0$  — термодинамические коэффициенты.

Формально уравнение (1) имеет не только периодические решения, но и решения в виде последовательности удвоений периода колебаний  $T$ , приводящей к режиму хаотических колебаний [9]. Однако уравнение (2), а значит, и уравнение (1) справедливы только для монодоменного кристалла. Их применение для описания рассматриваемой системы некорректно, поскольку в процессе переполяризации каждое мгновенное промежуточное состояние кристалла является полидоменным.

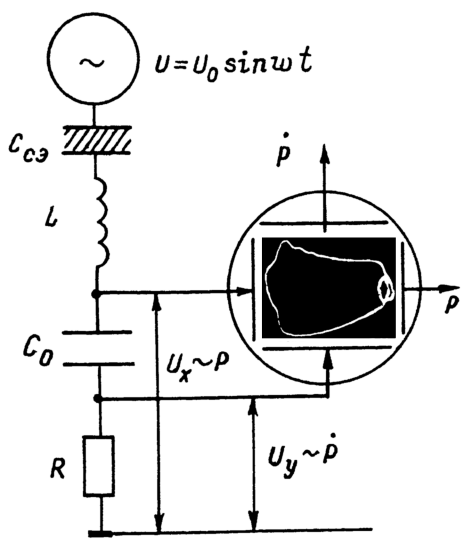


Рис. 1. Схема для наблюдения фазового портрета (зависимости  $\dot{P}$  ( $P$ )) последовательного резонансного контура, возбуждаемого синусоидальным напряжением.

$C_{cэ}$  — емкость сегнетоэлектрического образца;  $L$  — линейная индуктивность (320 мГн);  $C_0 \gg C_{cэ}$  — линейная емкость (0.5 мкФ);  $R$  — омическое сопротивление (5—10 Ом);  $U_x$  — напряжение, подаваемое на вход  $X$  осциллографа и пропорциональное поляризации  $P$  образца;  $U_y$  — напряжение, подаваемое на вход  $Y$  осциллографа и пропорциональное скорости изменения поляризации  $\dot{P}$ .

В настоящей работе обсуждается вопрос о роли доменной структуры в возникновении хаоса на примере модельного сегнетоэлектрического кристалла триглицинсульфата (ТГС), переполяризационные свойства которого хорошо изучены как косвенными, так и прямыми методами.

В наших первых работах [6-8] было показано, что возникновение хаоса

происходит в переполяризующем поле с амплитудой  $E_0$ , в 2—3 раза превосходящей напряженность коэрцитивного поля данного образца (рис. 2). По мере увеличения  $E_0$  (при  $\Theta = \text{const}$ ) однопериодное колебание сменяется каскадом удвоений периода колебаний (первое удвоение показано на рис. 2 штриховой линией), приводящим к хаосу. Хаос существует в ограниченном интервале амплитуд шириной  $\Delta E_x$  (рис. 2, заштрихованная область). При увеличении

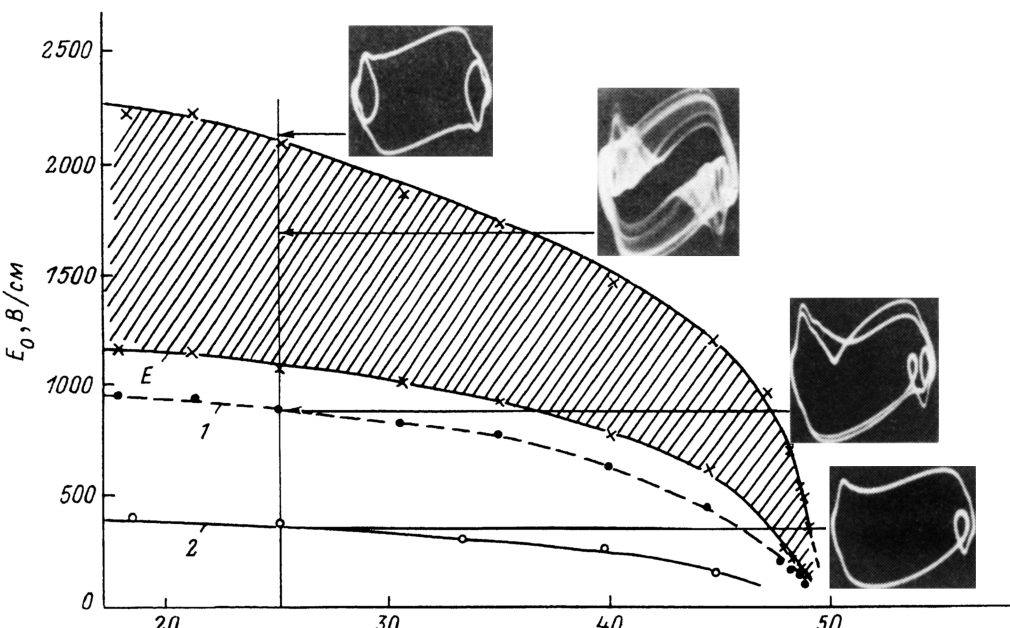


Рис. 2. Область существования хаоса (заштрихована) для кристалла номинально чистого ТГС в координатах «амплитуда поля—температура образца».

$E_{x1}$  и  $E_{x2}$  — границы этой области. На фотографиях  $a$ — $e$  — вид фазового портрета контура для разных  $E_0$  при  $\Theta = -25^\circ\text{C}$  и  $\nu = 2.5$  кГц. 1 — температурная зависимость начала каскада удвоений периода колебаний, 2 — температурная зависимость коэрцитивного поля образца на частоте 2.5 кГц.

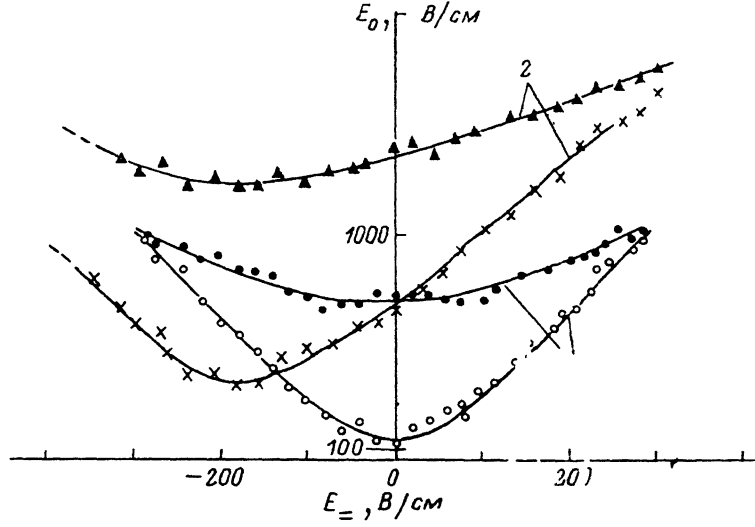


Рис. 3. Области существования хаоса в координатах  $(E_0, E_-)$  для кристаллов номинально чистого ТГС (1) и ТГС +  $\text{Cr}^{3+}$  (2).

$\Theta = 40^\circ\text{C}$ ,  $v = 2.2$  кГц. Внутреннее поле кристалла ТГС +  $\text{Cr}^{3+}$   $E_{\text{вн}} \approx 170$  В/см.

температуры область хаотического поведения постепенно сужается; при этом понижаются как нижняя  $E_{x1}$ , так и верхняя  $E_{x2}$  границы этой области. Выше точки Кюри  $\Theta_c$  хаос не наблюдается. Вид зависимости (рис. 2) одинаков как при нагревании, так и при охлаждении образца.

Поскольку существование хаотических колебаний в контуре (рис. 1) связывается нами с процессом переполяризации кристалла ТГС (т. е. с динамическими свойствами доменной структуры кристалла), то мы провели изучение влияния постоянного электрического поля  $E_-$  на область существования хаоса.

Как следует из рис. 3, приложение постоянного электрического поля уменьшает ширину области хаотического поведения  $\Delta E_x$ . При этом для номинально чистого кристалла ТГС воздействие поля  $E_-$  противоположных направлений оказывается одинаковым, что выражается в симметричности зависимости  $E_x (E_-)$  относительно оси ординат (рис. 3, кривые 1). Для примесного кристалла ТГС +  $\text{Cr}^{3+}$  эта зависимость несимметрична (рис. 3, кривые 2). Ее минимум приходится на значение  $E_-$ , которое хорошо совпадает со значением внутреннего поля  $E_{\text{вн}}$  данного образца кристалла ТГС +  $\text{Cr}^{3+}$ , определенным по петле диэлектрического гистерезиса на той же частоте и при той же температуре.

Остановимся подробнее на вопросе о механизме возникновения хаоса в системе (рис. 1) с точки зрения процессов, происходящих в кристалле при переполяризации в синусоидальном электрическом поле.

В наших опытах основным критерием поведения системы был вид ее фазового портрета — зависимости  $P (P)$ , получаемой с помощью схемы (рис. 1). Очевидно, что наблюдаемая в опыте осциллограмма  $\dot{P} (P)$  отражает поведение макроскопической поляризации сегнетоэлектрического кристалла в режиме вынужденных колебаний контура. С этой точки зрения существование хаоса как в координатах  $(E_0, \Theta)$ , так и в координатах  $(E_0, E_-)$  означает, что в хаотическом режиме движение изображающей точки на фазовой плоскости  $(P, \dot{P})$  носит нерегулярный, случайный характер в том смысле, что значения поляризации и скорости ее изменения не воспроизводятся от периода к периоду. Поскольку мгновенные значения обеих величин непосредственно зависят от мгновенного состояния доменной структуры, определяемого числом, положениями и скоро-

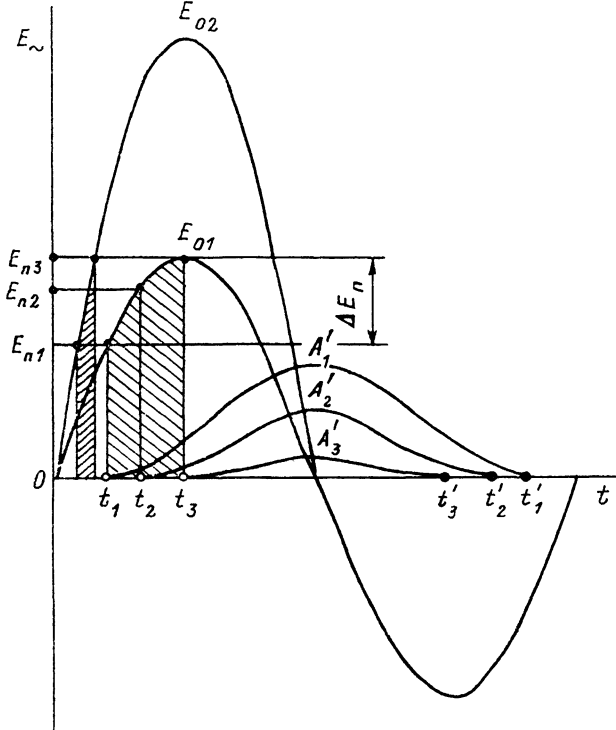


Рис. 4. Схематическое представление поведения зародышей доменов с пороговыми полями зарождения  $E_{\Pi i}$  ( $i = 1, 2, 3$ ) от моментов их зарождения  $t_i$  до моментов исчезновения  $t'_i$  в синусоидальном электрическом поле.

$\Delta E_\pi$  — ширина области пороговых полей зародышеобразования,  $A'_i$  — амплитуды боковых колебаний возникших доменов. Заштрихованные области — временные интервалы, соответствующие максимальной разности начальных фаз колебаний доменов в полях с амплитудами  $E_{01}$  и  $E_{02}$ .

стями доменных стенок, можно предположить, что указанное поведение  $P$  и  $P'$  является отражением соответствующего поведения доменной структуры, а именно нерегулярного и периодически невоспроизводимого.

Общепринято считать [10], что процесс переполяризации кристалла состоит из четырех основных этапов: зародышеобразование (зарождение доменов противоположного знака), торцевое прорастание возникших зародышей доменов сквозь кристалл, боковое разрастание доменов, слияние соседних доменов.

В синусоидальном электрическом поле переполяризация кристалла с исходной полидоменной структурой осуществляется дополнительно за счет колебаний существующих доменных стенок около их начальных положений [11]. Используя эмпирическую зависимость амплитуды боковых колебаний этих стенок от частоты синусоидального поля [11]

$$A = B\nu^{-m}, \quad (3)$$

где  $B$  и  $m$  — постоянные ( $m < 1$ ), а также представленные в этой работе экспериментальные зависимости  $A(\nu)$ , мы оценили порядок величины  $A$  при  $E_0 = 100$  В/см и  $\nu = 2.5$  кГц (наша рабочая частота), который оказался равным  $10^{-2} - 10^{-3}$  мкм. Учитывая малость  $A$ , можно предположить, что в этих условиях боковые колебания исходных стенок не смогут вызвать хаос, проявляющийся в периодической невоспроизводимости  $P$  и  $P'$ . Проводя перед каждым наблюдением

фазового портрета монодоменизацию образца в поле  $E_0 \sim 7E_c$  (т. е. убирая исходные доменные стенки), мы убедились, что в этом случае хаос возникает при тех же условиях, что и в полидоменном образце. Это означает, по-видимому, что боковые колебания исходных доменных стенок вообще не играют роли в возникновении хаоса.

Процесс зародышеобразования новых доменов в синусоидальном поле, как было показано в [12], начинается с некоторого порогового значения поля  $E_p$ . При  $E_0 \sim E_p$  плотность возникающих зародышей невелика и составляет  $\sim 10^2$  см<sup>-2</sup>. При  $E_0 \geq E_p$  начинается интенсивное зародышеобразование, при котором плотность зародышей возрастает на несколько порядков и при этом для них отмечается наличие широкого распределения по значениям пороговых полей [13], что подтверждает статистический характер процесса. Вследствие этого в переменном электрическом поле с фиксированной амплитудой разные домены зарождаются с некоторым фазовым сдвигом по отношению друг к другу, что схематически изображено на рис. 4.

Видно, что как появление, так и исчезновение зародышей доменов, имеющих разные пороговые поля зарождения, происходит в разные моменты времени. В течение промежутка времени  $T' = t' - t$  от зарождения до исчезновения происходит сначала рост, а затем уменьшение домена. Во времени этот процесс будет представлять собой колебание с периодом  $T'$ , который, как видно из рис. 4, будет разным для разных доменов. Кроме того (рис. 4), эти колебания совершаются с разными амплитудами  $A'$ , поскольку длительность действия поля на домены, зародившиеся в разные моменты времени, различна.

На основании вышеизложенного доменную структуру кристалла, находящуюся в переменном электрическом поле, можно рассматривать как систему независимых осцилляторов, число которых интенсивно увеличивается, когда амплитуда поля  $E_0 \geq E_p$ . Эти осцилляторы имеют разные начальные фазы, частоты и амплитуды, вследствие чего в их колебаниях будет отсутствовать синхронизм. Учитывая случайный характер появления зародышей доменов, можно предположить, что будет также отсутствовать строгая периодическая повторяемость в колебаниях отдельных осцилляторов. По этим причинам мгновенная макроскопическая поляризация кристалла, а также скорость ее изменения окажутся периодически невоспроизводимыми, вследствие чего колебания в рассматриваемой динамической системе примут хаотический характер.

Это предположение подтверждается тем, что значения амплитуды поля, при которых в номинально чистом ТГС начинается хаос, хорошо коррелируют со значениями пороговых полей интенсивного зародышеобразования, которые, по данным [13], при тех же  $\nu$  и  $\Theta$ , что и в наших опытах, так же как и  $E_{x1}$ , составляют примерно 2—3  $E_c$ .

При дальнейшем росте амплитуды поля (при  $\nu = \text{const}$  и  $\Theta = \text{const}$ ) увеличиваются число зародышей и боковые размеры прорастающих доменов, а расстояния между стенками соседних доменов уменьшаются, что вызывает усиление взаимодействия между этими доменами. Взаимодействие между осцилляторами (доменами) вызывает синхронизацию их колебаний, что приводит к исчезновению хаоса. Этому способствует и то, что с ростом  $E_0$  уменьшается разность начальных фаз осцилляторов, соответствующая различию моментов зарождения разных доменов (рис. 4).

При приближении к точке Кюри  $\Theta_c$  возникновение хаоса происходит в меньших полях, поскольку при этом зарождение доменов, будучи термоактивированным процессом, облегчено. По этой же причине, а также из-за того, что с ростом температуры вследствие увеличения числа доменов и уменьшения расстояний между ними растет роль взаимодействия как фактора синхронизации колебаний, происходит одновременно понижение и верхней границы области хаотического поведения (рис. 2).

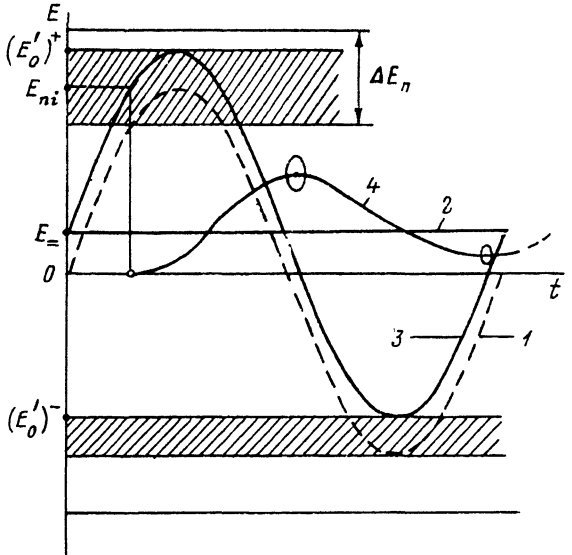


Рис. 5. Схематическое представление поведения зародившейся доменов при одновременном действии на кристалл переменного и постоянного электрических полей.  
 1 —  $E_< (t)$ , 2 —  $E_<$ , 3 —  $E'_< (t) = E_< (t) + E_<$ ,  
 4 — временная зависимость поведения домена с пороговым полем зарождения  $E_{\text{пн}}$  в результирующем электрическом поле  $E'_<$ ,  $\Delta E_n$  — ширина области пороговых полей зародышебразования,  $(E'_o)^+$  и  $(E'_o)^-$  — амплитуды результирующего поля в соседних полупериодах. Заштрихованные области соответствуют интервалам пороговых полей зародившейся, выключенных из процесса «зарождения-исчезновения» в заданном поле  $E_<$ .

С этих позиций объяснимо наблюдавшееся на опыте влияние постоянного электрического поля на хаотическое поведение кристаллов ТГС (рис. 3).

При одновременном приложении к кристаллу полей  $E_<$  и  $E_<$

образец находится в переменном поле  $E'_<$ , у которого амплитуды  $(E'_o)^+$  и  $(E'_o)^-$  в соседних полупериодах неодинаковы (на рис. 5  $(E'_o)^+$  больше, чем  $(E'_o)^-$ ).

В таком поле часть доменов, имеющих малые  $E_n$ , оказывается выключенной из процесса переполяризации, а точнее, из статистического этапа зарождения—исчезновения, с которым, как было показано выше, связана хаотизация колебаний. Действительно, часть доменов, зародившихся в первом полупериоде  $(E'_o)^+$ , в дальнейшем не сможет исчезнуть. Их поведение с течением времени будет аналогично поведению исходных доменов полидоменного образца, т. е. сводится к колебаниям их стенок с малыми амплитудами около начальных положений. Кроме того, в полупериоде  $(E'_o)^-$  часть доменов не может зарождаться, так как результирующее поле стало меньше их пороговых полей. Это приводит к тому, что под действием поля  $E_<$  хаос становится либо менее развитым, либо исчезает в зависимости от величины  $E_<$  при  $E_o = \text{const}$ . Чтобы восстановить хаотический

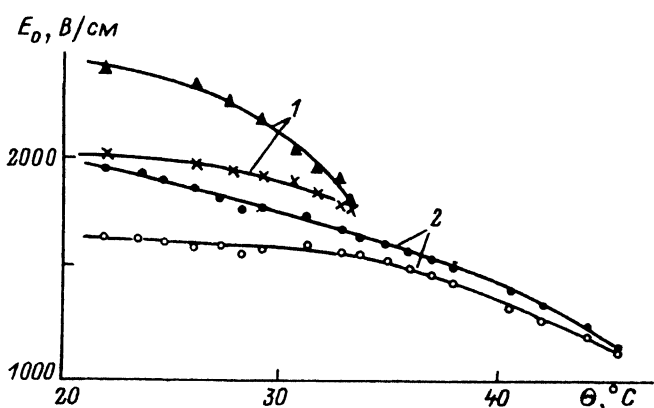


Рис. 6. Области существования хаоса для кристалла ТТГ + L,  $\alpha$ -аланин на частоте  $\nu = 2.5$  кГц в координатах  $(E_o, \Theta)$ .

1 —  $E_< = 0$ ; 2 — к образцу приложено поле  $E_< = 210$  В/см, которое частично компенсирует внутреннее поле образца  $E_{\text{вн}} = 270$  В/см.

режим, нужно вновь вовлечь эти домены в указанный процесс, для чего при  $E_z = \text{const}$  надо увеличить  $E_0$ . Это и проявляется в повышении нижней границы хаотической области при увеличении  $E_z$  (рис. 3).

Влияние внутреннего поля  $E_{\text{вн}}$  на хаотическое поведение кристаллов ТГС эквивалентно действию поля  $E_z$  и особенно отчетливо проявляется для кристаллов ТГС с примесью  $L$ ,  $\alpha$ -аланина (LATGC).

На рис. 6 показано температурное поведение хаотической области  $\Delta E_x$  для образца LATGC в двух случаях — без приложения к кристаллу постоянного поля и под действием поля  $E_z$ , которое частично компенсирует поле  $E_{\text{вн}}$ . Существование в кристалле этого поля приводит к тому, что область хаоса оказывается «обрезанной» со стороны высоких температур, т. е. заканчивается задолго до  $\Theta_c$ . Приложение к кристаллу поля  $E_z$ , частично компенсирующего поле  $E_{\text{вн}}$ , расширяет температурный интервал хаотического поведения в сторону точки Кюри. Амплитудный интервал  $\Delta E_x$  существования хаоса при этом смещается в сторону меньших значений  $E_0$ , что согласуется с предложенным доменным механизмом возникновения хаоса.

Подводя итог изложенному, можно сделать следующие выводы.

1. При определенных условиях (амплитуда и частота переполяризующего поля, температура образца, величина внешнего постоянного электрического поля, наличие в кристалле внутреннего поля) переполяризация сегнетоэлектрических кристаллов ТГС осуществляется таким образом, что в последовательном резонансном  $RLC$ -контуре, содержащем этот кристалл, наблюдаются вынужденные хаотические колебания, имеющие, как показывает совокупность полученных результатов, доменное происхождение.

2. Можно предположить, что хаотизация колебаний в данной динамической системе при переполяризации сегнетоэлектрического ТГС синусоидальным электрическим полем обусловлена статистическим процессом зарождения — исчезновения антипараллельных доменов в исходных монодоменных областях кристалла. В хаотическом режиме эти домены ведут себя как система невзаимодействующих осцилляторов с разными начальными фазами, частотами и амплитудами, колебания которых несинхронизированы, а в колебаниях парциальных осцилляторов отсутствует строгая периодическая повторяемость.

#### Список литературы

- [1] Beige H., Albers J., Petersson J. // Jap. J. Appl. Phys. 1985. V. 24. Suppl. 2. P. 715—717.
- [2] Huang J. Y., Kim J. J. // Phys. Rev. B. 1986. V. 34. N 11. P. 8122—8124.
- [3] Diestelhorst M., Beige H. // Ferroelectrics. 1988. V. 81. P. 15—18.
- [4] Kim J. J., Huang J. Y. // Phys. Rev. B. 1988. V. 38. N 16. P. 11885—11887.
- [5] Beige H., Diestelhorst M., Forster R., Albers J., Muser H. // Ferroelectrics. 1990. V. 104. P. 355—360.
- [6] Дрождин С. Н., Камышева Л. Н., Дистельхорст М., Сердюк О. М., Косарева О. А. // Письма в ЖТФ. 1990. Т. 16. № 14. С. 1—5.
- [7] Дрождин С. Н., Камышева Л. Н. // Кристаллография. 1991. Т. 36. № 4. С. 925—930.
- [8] Drozhdin S. N., Kamysheva L. N. // Abstr. 7th Europ. Meet. Ferroel. 1991. P. 16.
- [9] Ueda Y. // J. Stat. Phys. 1979. V. 20. P. 181—196.
- [10] Барфут Дж., Тейлор Дж. Полярные диэлектрики и их применения: Пер. с англ. М., 1981. 526 с.
- [11] Донцова Л. И., Булатова Л. Г., Шильников А. В., Тихомирова Н. А. // Физика диэлектриков и полупроводников: Сб. научн. трудов. Волгоград, 1986. С. 123—139.
- [12] Донцова Л. И., Тихомирова Н. А., Пикин С. А., Шувалов Л. А. // ДАН СССР. 1979. Т. 245. № 6. С. 1376—1379.
- [13] Тихомирова Н. А., Гинзберг А. В., Чумакова С. П., Шувалов Л. А., Донцова Л. И. // ФТТ. 1986. Т. 28. № 10. С. 3055—3058.